



زمین‌شیمی، جایگاه زمین‌ساختی و خاستگاه ماقمایی توده نفوذی کانه‌دار در مجموعه مس پورفیری صاحب‌دیوان، شمال‌غرب ایران

هادی خلیل‌زاده^{*}، صمد علیپور، علی عابدینی

گروه زمین‌شیمی، دانشکده علوم، دانشگاه ارومیه

(دریافت مقاله: ۹۷/۹/۱۰، نسخه نهایی: ۹۷/۱۲/۱۱)

چکیده: مجموعه مس پورفیری صاحب‌دیوان در پهنه ماقمایی البرز-آذربایجان در شمال‌غرب ایران واقع است. بر پایه بررسی‌های صحرایی، سنگنگاری و زمین‌شیمیایی، ترکیب اصلی توده نفوذی کانه‌دار در این مجموعه شامل گرانوودیوریت، دیوریت و مونزونیت است. این سنگ‌ها پرآلومین و باسته به سری‌های ماقمایی کلسیمی قلیایی پتاسیم بالا و شوشونیتی هستند و در گستره گرانیت‌های نوع I جای می‌گیرند. در نمودارهای هارکر، SiO_2 دارای همبستگی منفی با CaO , Al_2O_3 , FeOt , TiO_2 , P_2O_5 , MgO , K_2O , Cs و Co و همبستگی مثبت با La , Cr , Zr و Nb است. غنی‌شدگی از عناصر سنگ دوست درشت یون (مانند Th , Cs و U), تهی‌شدگی از V و همبستگی مثبت با Nb (مانند Nb , Ta و Ti) و غنی‌شدگی از عناصر خاکی نادر سبک نسبت به عناصر خاکی نادر سنگین همراه با عناصر با قدرت میدان بالا (مانند Eu از دیگر ویژگی‌های زمین‌شیمیایی سنگ‌های گرانیتوئیدی صاحب‌دیوان است. نمودارهای تفکیک محیط بی‌هنگاری جزئی منفی Eu از دیگر ویژگی‌های زمین‌شیمیایی سنگ‌ها در محیط قوسی آتشفسانی پسابرخوردی در یک کرانه فعال قاره‌ای است. بر پایه داده‌های زمین‌شیمیایی، ماقمایی مولد سنگ‌های مورد بررسی بوسیله ذوب‌بخشی پوسته قاره‌ای زیرین در اثر نفوذ مذاب‌های بازالتی مشتق شده از گوشه‌های و در تعادل با پسماندهای شامل پیروکسن و آمفیبول تشکیل شده است.

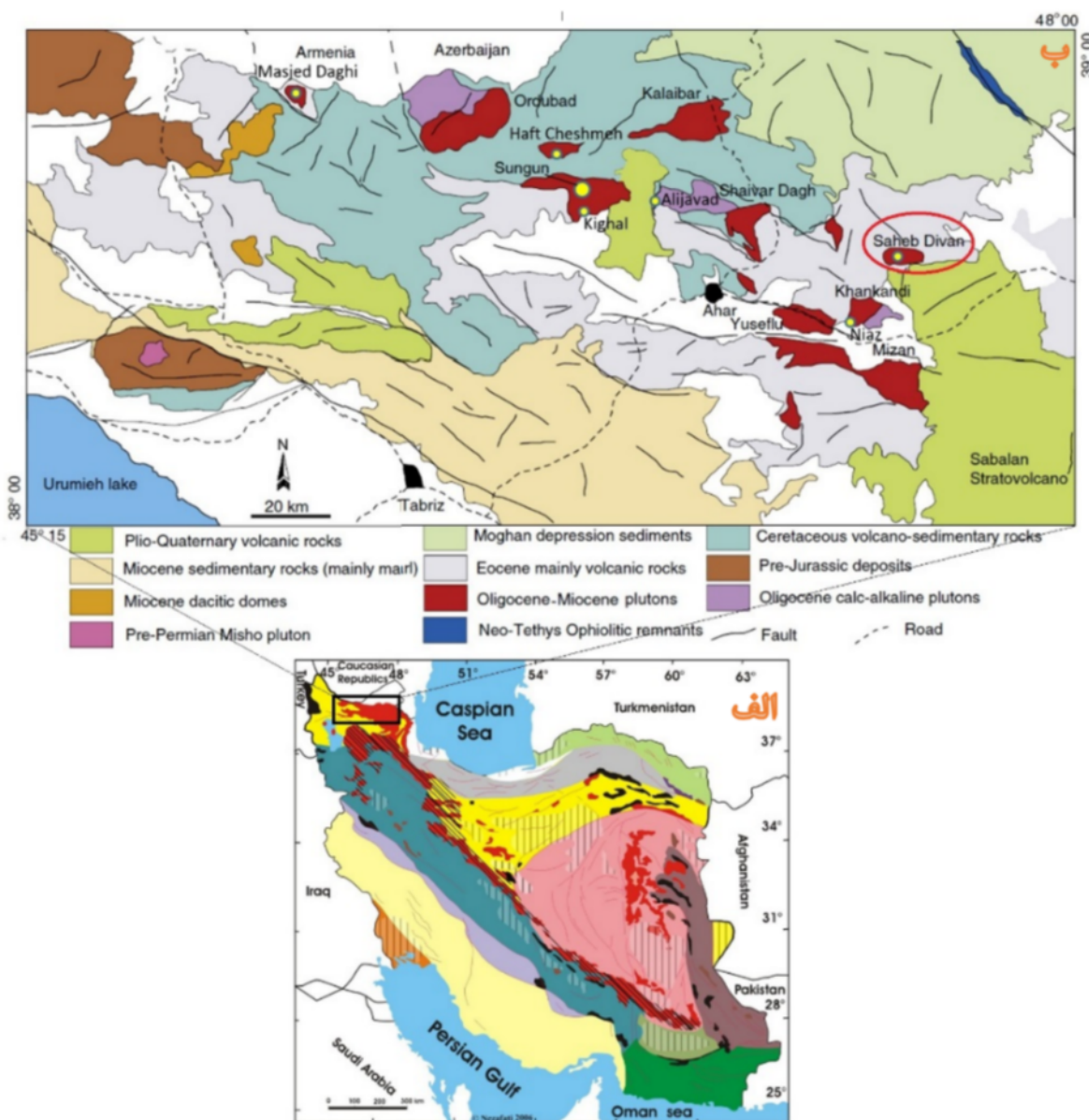
واژه‌های کلیدی: صاحب‌دیوان، مجموعه مس پورفیری، سنگ‌های گرانوودیوریتی، زمین‌شیمی، جایگاه زمین‌ساختی، خاستگاه ماقما.

مقدمه

واحدهای رسوی-آتشفسانی کرتاسه و ائوسن نفوذ کردند [۳]. کانی‌سازی‌های مس پورفیری در این کمریند در اصل همراه با توده‌های نفوذی الیگو سن-میوسن بوده است که از مهمترین آنها می‌توان به کانسارها و گستره‌های سونگون، علی‌جواد، مسجددادی، هفت‌چشممه، کیقال، نیاز و صاحب‌دیوان اشاره کرد (شکل ۱ ب). در منطقه صاحب‌دیوان، کانی‌زایی مس پورفیری در ارتباط با توده گرانیتوئیدی به سن الیگو سن است [۴]. با توجه به اینکه تاکنون پژوهش متمرکزی پیرامون ویژگی‌های زمین‌شیمیایی، محیط زمین‌ساختی و خاستگاه ماقمایی این توده انجام نشده است، در این پژوهش به این ابهامات پرداخته شده است.

منطقه صاحب‌دیوان در تقسیم‌بندی پهنه‌های ساختاری ایران [۱] (شکل ۱ الف) در پهنه البرز-آذربایجان واقع شده و دارای مختصات جغرافیایی به طول $۵۳^{\circ} ۳۲' ۴۷''$ و عرض $۳۳^{\circ} ۲۷' ۳۸''$ است. این منطقه بخشی از کمریند مس ارسباران در شمال‌غرب ایران را تشکیل می‌دهد (شکل ۱ ب). کمریند مس ارسباران یکی از مناطق مهم تشکیل کانسارهای مس پورفیری در مجموعه کوه‌هایی-کانی‌زایی آلپ-هیمالیا بوده [۲] و دارای ۷۰ تا ۸۰ کیلومتر عرض و ۴۰۰ کیلومتر طول است و در برگیرنده نهشته‌های آتشفسانی-رسوی کرتاسه و سنوزوئیک و همچنین توده‌های نفوذی سنوزوئیک است که به درون

*نویسنده مسئول، تلفن: ۰۴۱۴۴۲۲۷۲۰، نامبر: ۰۴۱۴۴۲۲۴۲۱، پست الکترونیکی: hkhhalilzadeh62@gmail.com



شکل ۱ الف) جایگاه پهنه ارسپاران در نقشه زمین ساخت ایران [۱] و ب) نقشه زمین‌شناسی پهنه ارسپاران به همراه جایگاه مهمترین کانی‌زایی‌های مس پورفیری و منطقه مورد بررسی در آن برگرفته از مرجع [۳] با تغییرات کلی.

ترتیب برای تعیین مقادیر عناصر اصلی، فرعی، جزئی و خاکی نادر در آزمایشگاه MS Analytical کشور کانادا تجزیه شدند.

زمین‌شناسی منطقه

براساس نقشه زمین‌شناسی ۱:۱۰۰۰۰۰ لاهروود [۵]، مهمترین رخمنون‌های سنگی در منطقه صاحب‌دیوان شامل نهشته‌های آتشفسانی اثوسن و توده‌های نفوذی کوارتزدیوریتی تا گرانوودیوریتی الیگوسن است. نهشته‌های آتشفسانی اثوسن در لبه‌های منطقه رخمنون دارند و بیشتر شامل تراکی‌آندزیت، داسیت و توف هستند و سنگ میزان توده نفوذی

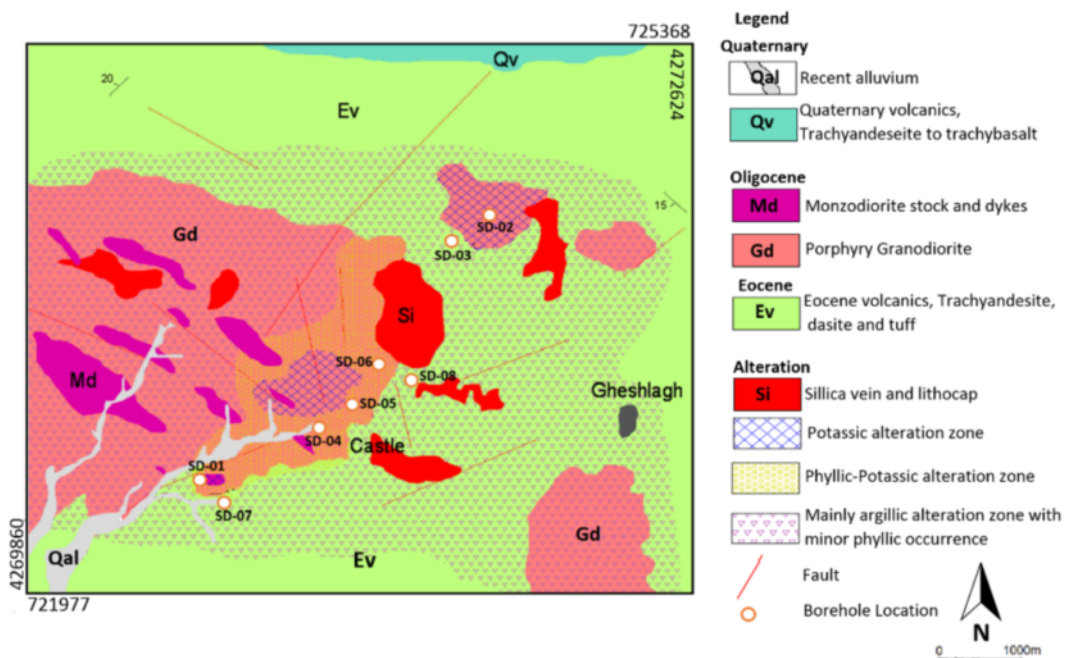
روش بررسی

پس از بازدیدهای صحرایی، بررسی مقاطع میکروسکوپی و مغزه‌های حفاری اکتشافی و انجام نمونه‌برداری تصادفی و اصولی از اعماق مختلف گمانه‌های حفاری، به منظور تعیین فازهای کانی‌ای توده گرانیتوئیدی مورد بررسی، تعداد ۸ نمونه سنگی مناسب برای پراش پرتوی ایکس (XRD) به آزمایشگاه زرآزم ایران ارسال شد. همچنین تعداد ۱۲ نمونه به روش‌های طیف سنجی نشری پلاسمای جفت شده القایی (ICP-ES) و طیف سنجی جرمی پلاسمای جفت شده القایی (ICP-MS) به

اصلی کانه‌زایی مس و دگرسانی‌های پتاسیمی، فیلیک، آرژیلی و پروپیلیتی (جدول ۱) است. این توده در نمونه دستی به رنگ خاکستری روشن دیده می‌شود (شکل ۳ پ) و بیشتر دارای کانی‌های پلازیوکلاز، فلدسپار قلایی، پیروکسن، بیوتیت و آمفیبیول است. در این سنگ‌ها، بلورهای پلازیوکلاز شکل دار و گاه دارای لبه‌های خورده شده بوده و بر پایه ویژگی‌های نوری، الیگوکلاز-آندرین هستند. این بلورها در برخی موارد ساخت منطقه‌بندی نشان می‌دهند و بافت غربالی دارند. در سنگ‌های موردن بررسی، کلینوپیروکسن شکل دار بیشتر در تماس با کانی‌های کدر دیده می‌شود. در زمینه، کوارتز، کوارتز و فلدسپار به همراه ریزبلورهای کلینوپیروکسن تجزیه شده، کانی‌های کدر، لکه‌های لوکوکسن-اسفن و بلورهای اکسیده آمفیبیول حضور دارند.

گرانودیوریتی (Gd) به سن الیگوسن را تشکیل می‌دهند. بر اساس مشاهدات صحرایی و نقشه زمین‌شناسی ۱:۱۰۰۰ (شکل ۲)، در مجموعه پورفیری صاحب‌دیوان نخست توده گرانودیوریتی به درون نهشته‌های آتش‌شانی اوسن (Ev) نفوذ کرده است. در مرحله بعدی، استوک‌ها و دایک‌های مونزونودیوریتی به آن نفوذ کرده و توده گرانودیوریتی و گاه نهشته‌های اوسن را قطع کرده‌اند. این سنگ‌ها در نمونه دستی خاکستری تیره تا سبز تیره است و با توجه به رنگ و بافت از توده نفوذی گرانودیوریتی قابل تمایز هستند. سرانجام دایک‌های تا خیری تراکی بازالتی و الیوین بازالتی به آن نفوذ کرده و واحدهای پیشین را قطع کرده‌اند [۶].

توده گرانودیوریتی گستردگرین واحد نفوذی در منطقه صاحب‌دیوان است و بیشتر دارای بافت پورفیری بوده و میزان



شکل ۲ نقشه زمین‌شناسی منطقه صاحب‌دیوان در مقیاس ۱:۱۰۰۰ برگرفته از مرجع [۶] پس از تغییرات کلی.

جدول ۱ نتایج تجزیه به روش XRD انواع پهنه‌های دگرسانی در توده گرانودیوریتی کانه‌دار در مجموعه پورفیری صاحب‌دیوان.

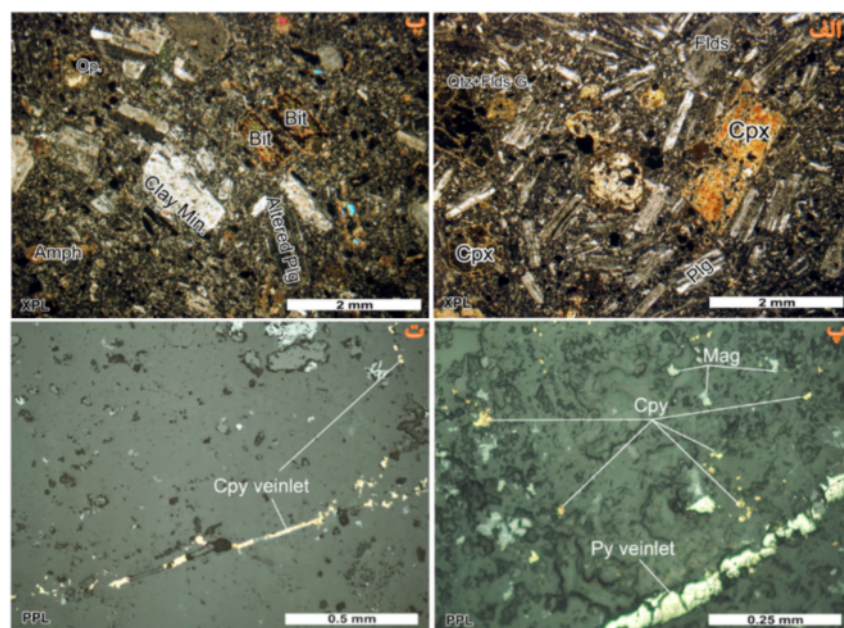
نوع دگرسانی	کد نمونه	فاز اصلی	فاز فرعی	فاز کم مقدار
پتاسیمی	SD-02/172	کوارتز-آلبیت-موسکوویت-ایلیت-ارتوكلاز	کاتولینیت-هماتیت	کلسیت
پتاسیمی	SD-04/304	آلبیت-ارتوكلاز-کوارتز-بیوتیت	کلریت-هورنبلند-هماتیت	-
نیلی	SD-01/254	کوارتز-موسکوویت-ایلیت	پیریت	-
نیلی	SD-05/166	کوارتز-موسکوویت-ایلیت	کلریت-پیریت	-
آرژیلی	SD-03/130	کوارتز-کاتولینیت	موسکوویت-ایلیت-ناتروالونیت آلبیت-میکروکلین	پیریت
آرژیلی	SD-06/340	کوارتز-کاتولینیت-موسکوویت-ایلیت	کانی رسی-پیریت-ناتروالونیت	روتیل
پروپیلیتی	SD-01/406	آلبیت-ارتوكلاز-کلریت-اویت	کوارتز	موسکووریت-ایلیت-هورنبلند
پروپیلیتی	SD-05/110	کوارتز-کلریت-آلبیت-موسکوویت-ایلیت	دولومیت	هماتیت-کلسیت



شکل ۳ (الف) نمایی کلی از منطقه مورد بررسی شامل توده گرانو دیوریتی (Gd) با دگر سانی آرژیلی به همراه واحدهای مونزو دیوریتی (Md)، (ب) تصویر نمونه سطحی از توده گرانو دیوریتی با بافت پورفیری و دگر سانی آرژیلی و (پ) تصویر معزه حفاری از توده نفوذی گرانو دیوریتی.

بررسی های کانی نگاری در توده گرانو دیوریتی، کانه عمدہ مس کالکو پیریت است که به صورت پراکنده و در رگچه ها دیده می شود. ابعاد این کانه ها بین ۴۰ تا ۳۰۰ میکرون است. پیریت ها به صورت رگچه های با ضخامت حدود ۱۰۰ میکرون در اطراف کالکو پیریت مشاهده می شوند. کانه های مگنتیت نیز به صورت شکل دار و پراکنده در متن سنگ حضور دارند و ابعاد آنها بین ۲۰ تا ۴۰۰ میکرون متغیر است (شکل های ۴ پ و ت) [۷].

پلازیو کلزها در اثر دگر سانی بطور نسبی به کانی های رسی و مقادیری جزئی سریسیت تجزیه شده اند. پیروکسن نیز گاه بطور نسبی به کلریت تجزیه شده است. کانی های فرومینزین (بیوتیت و آمفیبول) نیز در این سنگ ها حضور دارند و در برخی موارد اکسیده شده اند. در این سنگ ها، فلدسپات گاه حالت جریانی دارد. کانی های کدر و آپاتیت نیز در آنها به عنوان کانی فرعی دیده می شوند (شکل های ۴ الف و ب). بر اساس



شکل ۴ تصاویر میکروسکوپی توده های نفوذی گرانو دیوریتی دارای بافت پورفیری. (الف) پلازیو کلز با لبه های فلدسپار قلیایی و دارای ساخت منطقه بندی و کلینو پیروکسن شکل دار، (ب) بلورهای بیوتیت و آمفیبول به همراه پلازیو کلز دگر سان شده (کلینو پیروکسن (Cpx)، پلازیو کلز (Plg)، فلدسپار (Flds)، بیوتیت (Bit)، آمفیبول (Amph)، ارتو پیروکسن (Qtz)، کوارتر (Op)، پ و ت) کانه های مگنتیت (Mag)، کالکو پیریت (Cpy)، پیریت رگچه های (Py) و پیریت رگچه های (Cpy) در توده گرانو دیوریتی مورد بررسی [۷].

۰/۰۷ تا ۲/۶۶ از ۰/۵۱ تا ۰/۰۳۶ از ۰/۰۸ تا ۰/۰۵۱ و ۰/۰۵ تا ۰/۰۴۹ از CaO، ۰/۰۲۳ از TiO₂ از ۰/۰۵ تا ۰/۰۹۵ و P₂O₅ از ۰/۰۸ تا ۰/۰۵ درصد وزنی تغییر می کند که بیانگر گستره ترکیبی وسیع توده گرانوودیوریتی است (جدول ۲).

بحث و بررسی

زمین شیمی سنگ کل

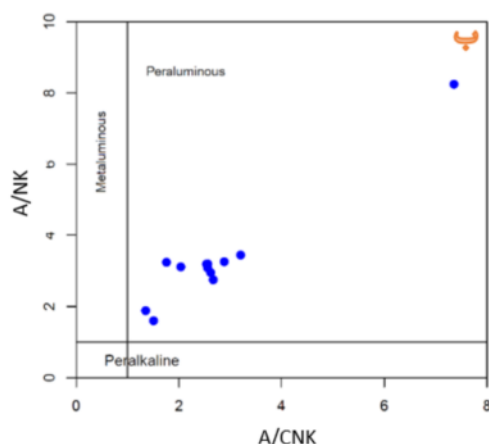
در نمونه های مورد بررسی، مقادیر SiO₂ از ۴۹/۸۸ تا ۶۷/۲۷، K₂O از ۲۱/۰۸ تا ۱۳/۸۸، Na₂O از ۵/۷۲ تا ۲/۲۱، Al₂O₃ از ۱۳/۸۸ تا ۱۰/۰۸، CaO از ۰/۰۸ تا ۰/۰۴۹، MgO از ۰/۰۴ تا ۰/۰۶، FeO از ۰/۰۲ تا ۰/۰۴ و P₂O₅ از ۰/۰۱ تا ۰/۰۳ درصد وزنی

جدول ۲ مقادیر اکسیدهای اصلی (درصد وزنی) و عناصر فرعی و خاکی نادر (ppm) در نمونه های مورد بررسی.

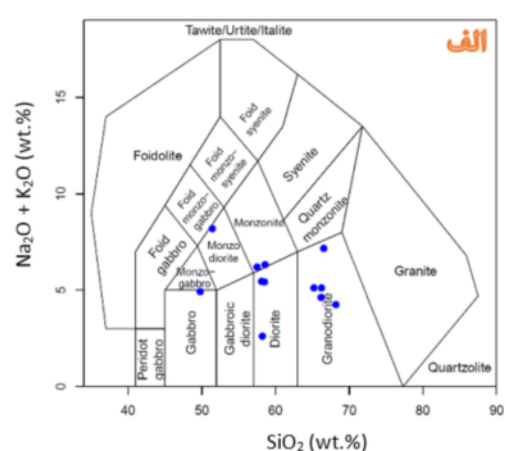
شماره نمونه اکسید عنصر	SD-۰/۱/۱۷۸	SD-۰/۲/۳۲	SD-۰/۱/۱۲	SD-۰/۲/۳۴	SD-۰/۲/۱۴۴	SD-۰/۴/۲۳۶	SD-۰/۴/۲۲۲	SD-۰/۵/۴۲	SD-۰/۵/۱۶۶	SD-۰/۵/۳۹۰	SD-۰/۶/۲۷۸	SD-۰/۶/۴۳۸
SiO ₂	۶۵/۶۷	۵۸/۸۲	۶۷/۲۷	۶۷/۲۵	۵۸/۵۹	۵۷/۹۸	۶۶/۸۶	۵۱/۵۴	۴۹/۸۸	۵۹/۱۳	۶۶/۸۳	۵۷/۸۹
Al ₂ O ₃	۱۵/۵۶	۱۷/۹۵	۱۴/۵۷	۱۳/۸۸	۲۱/۰۸	۱۷/۵۵	۱۷/۰۵	۱۷/۱۲	۱۷/۵	۱۸/۱۴	۱۶/۸۴	۲۰/۵۹
Fe ₂ O ₃	۰/۱۴	۰/۹۴	۰/۲۱	۰/۹۳	۰/۹۲	۰/۹۳	۰/۹۱	۰/۹۵	۰/۸۸	۰/۹۶	۰/۹۶	۰/۹۷
MgO	۰/۹۶	۰/۶۸	۰/۵۹	۰/۹۲	۰/۴۳	۰/۷۷	۰/۵۱	۰/۲۲	۰/۴۴	۰/۷۵	۰/۷۶	۰/۷۶
Cao	۰/۳۷	۰/۱	۰/۳	۰/۵	۰/۱۷	۱/۶۳	۰/۷۵	۱/۹۳	۲/۴۹	۰/۷۶	۰/۷۶	۰/۴۵
Na ₂ O	۰/۰۷	۰/۳۶	۰/۶۶	۰/۱۴	۰/۱	۰/۱۹	۰/۱۸	۰/۱۷	۰/۱۲	۰/۱۸	۰/۲۳	۰/۱۱
K ₂ O	۴/۷۶	۵/۴۹	۴/۳۷	۳/۹۵	۲/۲۱	۴/۹۲	۴/۶۷	۵/۷۲	۴/۸۱	۴/۹۸	۴/۱۷	۵/۷
MnO	۰/۰۴	۰/۰۲	۰/۰۴	۰/۰۵	<۰/۰۱	۰/۳۸	۰/۰۲	۰/۳۲	۰/۴۹	۰/۰۲	۰/۰۱	۰/۰۶
BaO	۰/۱۱	۰/۱	۰/۰۷	۰/۰۹	۰/۱۳	۰/۳	۰/۱۱	۰/۱۳	۰/۱۱	۰/۴۱	۰/۱	۰/۰۴
SrO	<۰/۰۱	۰/۰۸	۰/۰۲	۰/۰۲	۰/۱۵	۰/۰۳	۰/۰۱	۰/۰۶	۰/۰۲	۰/۰۵	۰/۱۲	۰/۰۲
TiO ₂	۰/۵۲	۰/۵۱	۰/۴۵	۰/۳۶	۰/۶	۰/۵۷	۰/۸۹	۰/۷۷	۰/۹۵	۰/۶۶	۰/۵۸	۰/۶۹
P ₂ O ₅	۰/۲	۰/۲	۰/۱۵	۰/۰۸	۰/۳۹	۰/۲۶	۰/۴۹	۰/۴۱	۰/۵۱	۰/۴۱	۰/۳۴	۰/۳۶
Cr ₂ O ₃	<۰/۰۱	<۰/۰۱	۰/۰۱	<۰/۰۱	<۰/۰۱	<۰/۰۱	۰/۰۱	۰/۰۱	<۰/۰۱	<۰/۰۱	<۰/۰۱	<۰/۰۱
(LOI) مواد فوار	۰/۰	۱/۰۴۲	۰/۵۳	۶/۱۹	۱/۰۲۵	۸/۷۲	۴/۸۳	۷/۲۳	۸/۹۱	۷/۱۲	۶/۰۴	۷/۱۵
مجموع	۹۸/۹۱	۹۹/۶۶	۱۰۰/۲۳	۹۹/۳۷	۱۰۰/۳۲	۹۹/۹	۹۹/۸۹	۹۹/۱۲	۹۹/۱۸	۱۰۰/۱۵	۱۰۱/۳۳	۹۹/۵۴
V	۹۵	۸۷	۶۸	۵۶	۱۲۲	۱۱۴	۱۵۶	۲۱۲	۲۲۸	۱۹۵	۱۱۵	۱۲۲
Y	۲۴/۱	۱۵/۵	۱۸/۷	۱۷/۱	۲۷/۱	۲۴/۲	۲۴/۵	۲۵/۹	۲۳/۹	۳۶/۲	۲۰/۹	۲۷/۲
Cr	۴۹	۲۷	۸۰	۵	۲۲	۲۹	۷۹	۸۰	۱۳	۳۲	۴۹	۳۲
Co	۱۰/۱	۱۵/۱	۷/۳	۱۱/۲	۱۲/۴	۷/۷	۱۴/۷	۲۴/۲	۲۱/۲	۱۷/۱	۱۲/۵	۱۲/۱
Ni	۴/۸	۹/۸	۵	۷/۳	۷/۹	۷/۸	۷/۶	۲/۰/۱	۵/۱	۵/۱	۷/۷	۳/۷
Pb	۲۳/۸	۳۶/۴	۵۸/۵	۲۲۹/۴	۳۶/۹	۴۵/۱	۳۰/۲	۱۲۲/۵	۸۲/۱	۲۴۰/۲	۸/۰/۱	۶۱
Zn	۶۱	۱۷	۹۶	۳۳۶	۱۳۵	۳۴۴	۹۵	۵/۰/۶	۳۶/۰	۱۳/۰	۶۸	۸۳۲
Cu	۹۲۷/۸	۸۴۸/۴	۴۶۷	۸/۰/۵	۷/۷/۷	۷۹۱/۲	۱۴۵۸/۴	۱۸/۸	۵۶۹/۴	۳۴۷/۲	۱۴۴۴/۱	۱۸۲۶/۶
Mo	۵۸/۶۳	۷۹/۱۷	۲۳۴/۲۴	۳۹/۷۴	۵۱/۱۳	۱۸/۷۵	۳۸/۸۳	۹۰/۰/۸۷	۴۶۷۶	۱۷۴۹۶	۲۱/۹۱	۸/۰/۸۷
Ga	۱۸/۸	۱۷/۵	۱۶	۱۶/۶	۲۰/۸	۱۸/۸	۱۹/۶	۱۷/۹	۱۹/۲	۲۱/۴	۲۱/۲	۲۰/۸
Tl	<۰/۱۹	۰/۸۶	۱/۱۶	۰/۲	۰/۴۳	۰/۱	۰/۱۵	۱/۲۶	۰/۴	۰/۲۵	۰/۸	۰/۳
Rb	۲۲۷/۵	۱۶۵/۱	۲۰/۱/۸	۱۷۲	۹۲/۱	۱۹۹/۵	۱۷۰/۳	۲۱۰/۳	۲۰/۵۲	۲۰/۱	۱۵۲/۹	۲۲۶
Th	۳۹/۰/۴	۳۲/۲/۷	۳۵/۶۱	۳۳/۰/۷	۵۸/۱۱	۳۶/۹۷	۲۲/۲۴	۱۷/۴	۱۲/۴۳	۲۱/۳۹	۳۰/۷۴	۵۹/۲۸
Sr	۷۱/۴	۷۲/۹/۵	۱۶۷/۲	۱۲۰/۵	۱۱۵/۸/۸	۴۶/۶	۱۰/۴/۴	۵۶/۷/۷	۱۴۲/۹	۴۴۴۲/۷	۱۱۵/۰/۸	۱۹۸/۳
Cs	۶/۷۷	۱/۰/۵۱	۹/۰/۳	۸/۷۳	۱/۴/۷	۱/۰/۴۶	۷/۰/۵	۱۰/۳/۱	۱۶/۱/۴	۷/۱۹	۶/۳۹	۱۲/۲۴
Ba	۹۹/۴/۱	۹/۰/۷	۶/۹/۶	۸/۱/۸	۱۱۶/۴/۷	۲۶۷/۲/۲	۹/۷/۸/۹	۱۱/۰	۹۷/۹/۸	۲۶۳۴/۷	۹۱/۰/۱	۲۴۶/۵
U	۰/۴۴	۱/۶/۷۲	۴/۲۳	۴/۴۲	۸/۰/۵	۸/۴۲	۴/۳۹	۵/۳۹	۱/۷/۶	۷/۰/۴	۸/۴۹	۹/۰/۹
Zr	۲۳/۰	۱۹/۲	۲۲۳	۱۷۲	۲۴/۷	۲۲۹	۲۲۹	۱۵/۷	۱۴/۹	۲۰/۳	۲۰/۱	۲۲۲
Nb	۵۳/۲	۳۲/۴	۳۹/۹	۳۷/۱	۵/۱	۴۸/۷	۴/۰/۹	۴۴/۶	۲۲/۲	۳۳/۲	۴۲/۲	۴۲/۴
Hf	۶/۴	۵/۴	۶	۴/۹	۷/۲	۶/۴	۵/۹	۴/۲/۳	۳/۹	۵/۲	۶/۳	۷/۶
Ta	۳/۷	۲/۵	۲/۶	۲/۶	۳/۵	۳/۴	۲/۳	۱/۸	۱/۴	۱/۹	۳	۳/۷
La	۶۹/۷	۶۲/۲	۵۲/۹	۶/۱/۱	۹/۴	۹/۹	۶/۶/۵	۴/۴/۷	۴/۰/۵	۸/۱/۷	۶/۰/۳	۹/۱/۶
Ce	۱۱۵/۷	۹۵/۶	۸/۶/۵	۱/۰/۱/۸	۱۶/۰/۱	۱۱۷/۹	۱۲۲/۴	۷۷/۲	۷۷/۳	۱۲۶/۳	۱/۰/۵	۱۵۷/۴
Pr	۱۱/۰/۳	۹/۲/۲	۸/۲/۲	۹/۷/۷	۱۷/۲/۴	۱۱/۹/۳	۱۳/۰/۷	۸/۱/۵	۸/۶/۶	۱۲/۹/۲	۱/۰/۵۹	۱۵/۰/۴
Nd	۳۹/۱	۳۱/۲	۲۷/۷	۳/۱/۶	۶/۶/۳	۴/۱/۱	۴/۷/۲	۲/۹/۸	۳/۳/۵	۴/۹/۹	۳/۶/۶	۵/۳/۲
Sm	۶/۷۷	۵/۵۵	۴/۹۱	۵/۱	۱۱/۸/۵	۷/۴/۶	۹/۰/۴	۶/۰/۴	۶/۸/۵	۸/۰/۹	۶/۹/۱	۸/۹/۸
Eu	۱/۷۱	۱/۶۱	۱/۱۷	۱/۲/۱	۲/۶/۸	۱/۱/۹	۲/۲/۵	۱/۸/۶	۲/۱/۱	۲/۷/۴	۱/۷/۶	۲/۳/۱
Gd	۶/۰/۸	۴/۹۳	۴/۴۱	۴/۲/۱	۸/۴/۱	۶/۰/۲	۷/۷	۵/۰/۱	۶/۲/۷	۸/۱/۹	۶/۱/۲	۸/۱/۸
Tb	<۰/۷۵	۰/۵۹	۰/۵۶	۰/۵۲	۰/۹۶	۰/۸	۰/۹/۱	۰/۷۹	۰/۸/۵	۱/۱/۲	<۰/۷۵	۰/۹/۵
Dy	۴/۱۴	۳/۰/۵	۲/۱/۲	۲/۷/۵	۴/۸/۲	۴/۲/۹	۴/۶/۵	۴/۷/۱	۴/۶/۲	۶/۱/۸	۳/۱/۸	۵/۱
Ho	<۰/۸۴	۰/۵۷	۰/۶۲	۰/۰/۵	۰/۹/۵	۰/۸/۶	۰/۸/۸	۰/۹/۶	۰/۸/۹	۱/۱/۹	<۰/۷۹	<۰/۹۹
Er	۲/۵۴	۱/۷	۱/۹/۴	۱/۷/۶	۲/۸/۴	۲/۴/۷	۲/۵	۲/۸/۷	۲/۵	۳/۵/۳	۲/۲/۹	۲/۹/۹
Tm	<۰/۳۹	۰/۲۶	۰/۳	۰/۲۹	۰/۴۳	۰/۴	۰/۳/۴	۰/۴/۵	۰/۳/۵	۰/۵/۳	۰/۳/۶	۰/۴/۷
Yb	۲/۵۴	۱/۷۲	۲/۰/۷	۱/۹	۲/۷/۷	۲/۶/۹	۲/۲/۴	۲/۷/۳	۲/۲	۳/۱/۷	۲/۳/۸	۳/۱/۳
Lu	<۰/۴	۰/۲۸	۰/۳۵	<۰/۳	۰/۴۳	<۰/۴	<۰/۴	<۰/۴۵	<۰/۴۲	<۰/۴۸	<۰/۴۷	<۰/۴
(La/Yb) _n	۱۸/۵۰	۲۴/۳۸	۱۷/۲۲	۲۱/۶۸	۲۲/۸/۷	۱۷/۲۹	۲۰/۰/۱	۱۱/۰/۳	۱۲/۴/۱	۱۷/۳/۷	۱۷/۰/۸	۱۹/۷۳
Dy/Yb	۱/۶۲	۱/۷۷	۱/۵	۱/۴۴	۱/۷/۴	۱/۵/۹	۱/۰/۷	۱/۷/۲	۱/۷/۱	۱/۹/۴	۱/۹/۲	۱/۹/۲
Eu/Eu*	<۰/۸۱	<۰/۹۴	<۰/۸۳	<۰/۷۹	<۰/۸/۲	<۰/۸/۲	<۰/۸/۲	<۰/۹/۵	<۰/۹/۷	<۰/۸/۲	<۰/۸/۲	<۰/۸/۲

نسبت به Th/Yb [۱۱]، سری ماقمایی نمونه‌ها کلسیمی قلیایی است (شکل ۶ الف) و در نمودار $\text{K}_2\text{O}-\text{SiO}_2$ [۱۲] نمونه‌ها مورد بررسی سرشت شوшуونیتی و کلسیمی قلیایی پیاسیم بالا نشان می‌دهند (شکل ۶ ب). برای تعیین نوع SiO_2 گرانیت توده نفوذی مورد بررسی از نمودار Zr نسبت به Y [۱۳] استفاده شد که نشان‌هندۀ واستگی این توده به گرانیت‌های نوع I است (شکل ۷ الف). همچنین همبستگی مثبت A/CNK با SiO_2 (شکل ۷ ب)، همبستگی منفی P_2O_5 با SiO_2 (شکل ۸)، حضور کانی‌های آمفیبول، کلینوپیروکسن و مگنتیت و نبود کانی‌های موسکویت (مگر به عنوان فاز ثانویه و ناشی از دگرسانی)، کردریت، سیلیمانیت، و گارنت در نمونه‌های مورد بررسی نشانگر واستگی این توده گرانودیبوریتی به گرانیت‌های نوع I است [۱۴-۱۶].

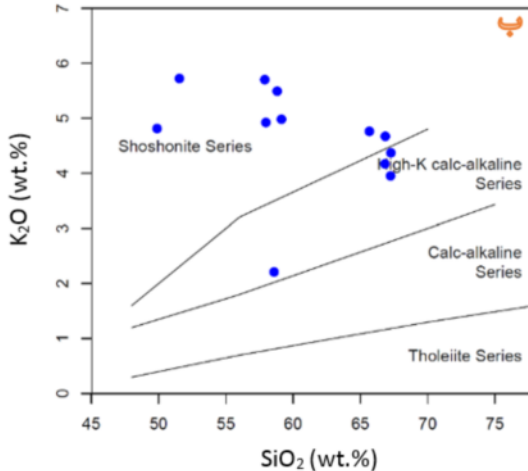
جهت ردیبندی سنگ‌شناسی نمونه‌های مورد بررسی از نمودار $(\text{Na}_2\text{O}+\text{K}_2\text{O})-\text{SiO}_2$ [۸] استفاده شد که بر اساس آن، بیشتر نمونه‌ها دارای ترکیبی از گرانودیبوریت، دیوریت، مونزونیت و مونزودیبوریت هستند (شکل ۵ الف). همچنین در نمودار شاخص اشباع از آلومین (Al/NK= $\text{Al}_2\text{O}_3/(\text{Na}_2\text{O}+\text{K}_2\text{O})$) [۹]، همه نمونه‌ای مورد بررسی ویژگی پرآلومین نشان می‌دهند (شکل ۵ ب). این ویژگی می‌تواند نتیجه دو عامل باشد [۱۰]: ۱) تاثیر و دخالت سنگ‌های پوسته‌ای دارای آلومینیوم بسیار، یا به بیان دیگر، دخالت آلودگی پوسته‌ای در دگرگونی و تشکیل ماقمایی مولد سنگ‌ها و ۲) تشکیل مقدار زیادی کانی ثانویه، به ویژه کانی‌های رسی در سنگ‌ها و همچنین خروج Na و Ca به سبب دگرسانی گرمایی که می‌تواند دلیل غنی‌شدنگی آلومینیوم در نمونه‌های مورد بررسی باشد. بر پایه نمودار



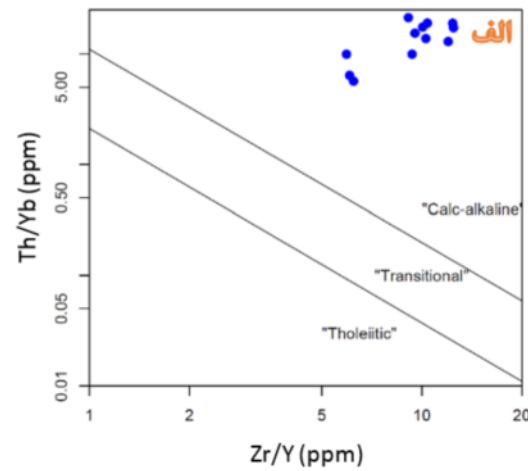
شکل ۵ (الف) نمودار نامگذاری توده نفوذی گرانودیبوریتی در مجموعه پورفیری صاحب‌دیوان [۸]. ب) نمودار A/CNK نسبت به A/CNK .



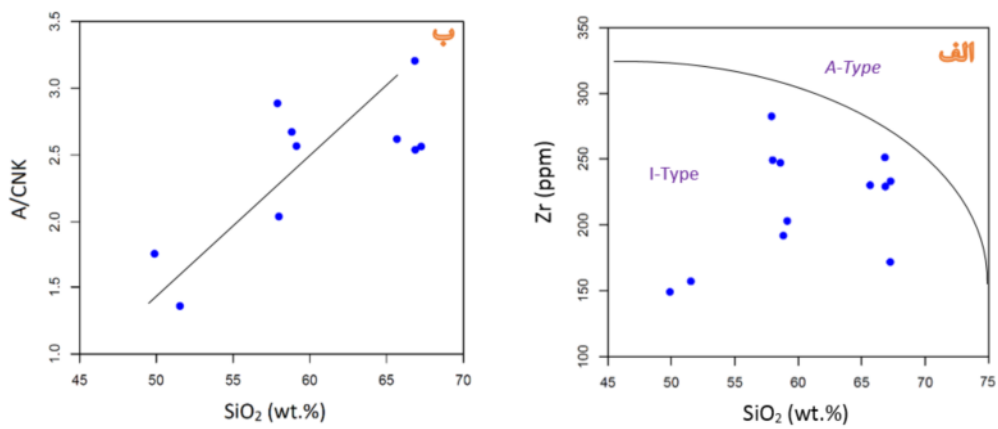
شکل ۵ (ب) نمودار نامگذاری توده نفوذی گرانودیبوریتی در مجموعه پورفیری صاحب‌دیوان [۸]. ب) نمودار A/CNK نسبت به A/CNK .



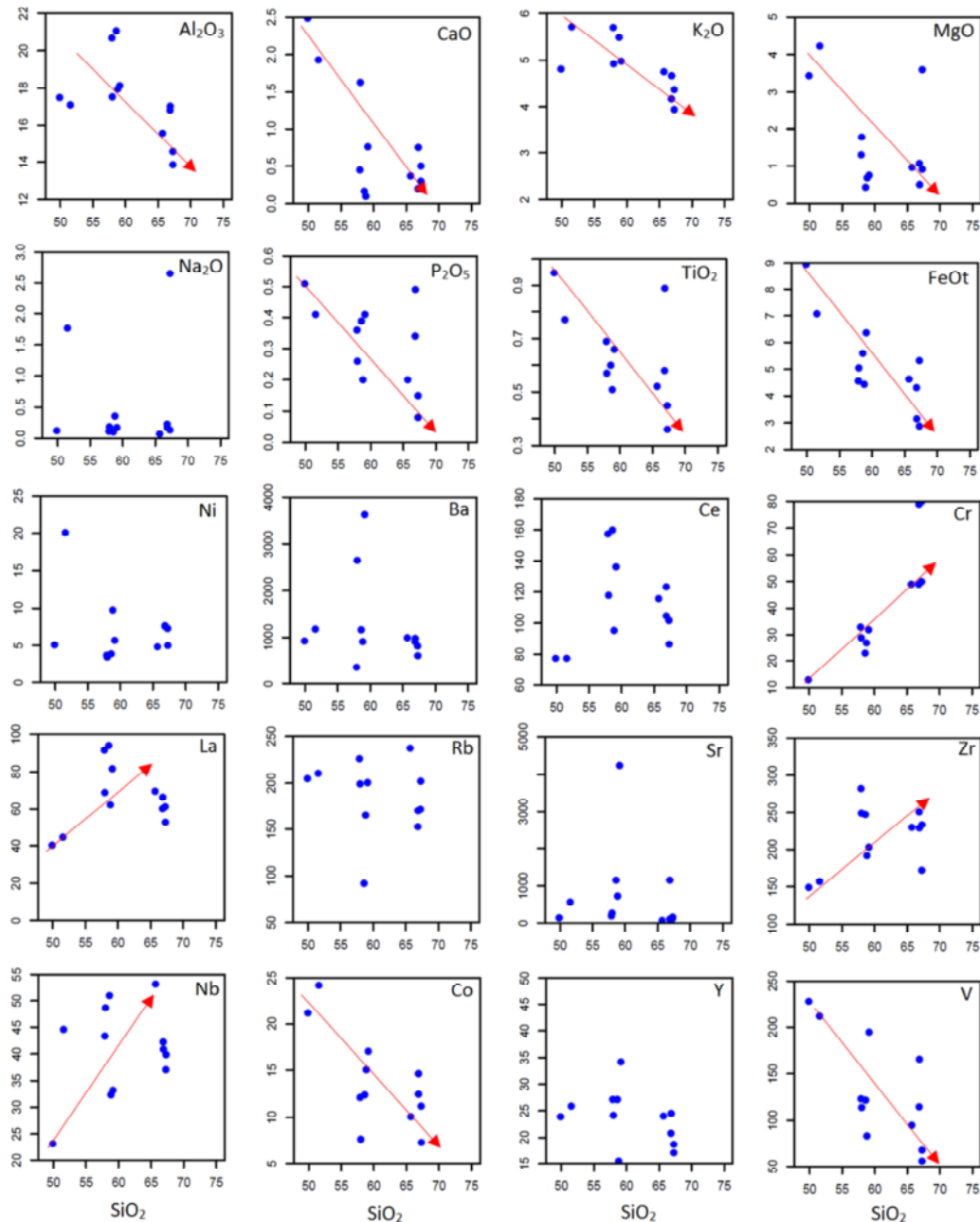
شکل ۶ (الف) جایگاه نمونه‌های توده گرانودیبوریتی در نمودارهای Th/Yb [۱۱] و ب) SiO_2 نسبت به K_2O [۱۲].



شکل ۶ (الف) جایگاه نمونه‌های توده گرانودیبوریتی در نمودارهای Th/Yb [۱۱] و ب) SiO_2 نسبت به K_2O [۱۲].



شکل ۷ (الف) نمودارهای تفکیک نوع گرانیت توده گرانووپیریتی مورد بررسی [۱۳] و (ب) نمودار A/CNK نسبت به SiO₂ [۱۴].



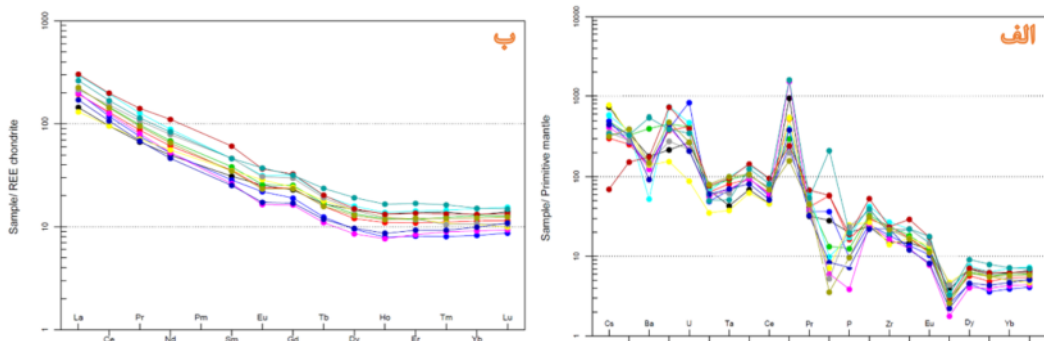
شکل ۸ تغییرات اکسیدهای اصلی و فرعی نسبت به SiO₂ [۱۷]. فراوانی اکسیدها بر حسب wt.% و عناصر فرعی بر حسب ppm گزارش شده است.

اولیه [۱۸] و مقادیر عناصر خاکی نادر (REE) بر اساس کندریت [۱۹] بهنجارشده‌اند. بر اساس نمودار بهنجار شده نسبت به گوشه‌های اولیه (شکل ۹ الف)، عناصر سنگ دوست درشت یون (LILE) که به عنوان کاتیون‌های بزرگ با بار کم شناخته می‌شوند، مانند Cs، La، Ce، Th، U، Ce، La، Ce، Th، U، مثبت و عناصر با شدت میدان بالا (HFSE) مانند Ta، Nb، Ti، Y، Zr و P بهنجاری منفی نشان می‌دهند. این ویژگی‌ها از مشخصه‌های ماقماهای مشتق شده از پوسته قدیمی و یا ماقماهای مربوط به محیط قوسی آتش‌شانی است [۲۰]. آلایش ماقما با مواد پوسته‌ای نیز می‌تواند عامل غنی‌شدگی LILE‌ها و تهی‌شدگی HFSE‌ها در نمونه‌های مورد بررسی باشد [۲۱]. غنی‌شدگی از La مربوط به تبلور کانی‌های اسفن و آپاتیت در این سنگ‌هاست. بهنجاری منفی P نیز ناشی از تبلور و جدایش آپاتیت است. بهنجاری منفی Ba در بیشتر نمونه‌ها را می‌توان به جدایش بیوتیت از ماقمای گرانیتی نسبت داد [۲۱]. بهنجاری منفی Y و Yb نشانگر تبلور بخشی و جدایش کانی‌های فرومیزین در مراحل اولیه جدایش است.

همچنین بهنجاری منفی Y می‌تواند نتیجه ورود آن به شبکه کانی‌های آپاتیت و اسفن باشد. بهنجاری منفی Nb در نمونه‌ها می‌تواند به عوامل گوناگونی مانند فعالیت ماقمایی مربوط به مشارکت پوسته و سنگ‌های پوسته قاره‌ای در فرآیندهای ماقمایی [۲۱، ۲۲]، فقر این عنصر در ناحیه خاستگاه ماقما، پایداری فازهای دربردارنده این عنصر (مانند آمفیبیول) طی ذوب‌بخشی یا جدایش آنها طی فرآیند جدایش [۲۳] وابسته باشد. بهنجاری‌های منفی عناصر Ta و Ti و شانگر آغشته‌گی ماقمای مادر با مواد پوسته‌ای طی صعود است. جانشینی Zr به جای Ti موجود در اسفن نیز می‌تواند موجب بهنجاری منفی این عنصر شود [۲۴]. بهنجاری مثبت Pb به آلدگی ماقمای مادر سنگ‌های مورد بررسی با پوسته قاره‌ای ارتباط دارد.

زمین‌شیمی عناصر اصلی، فرعی و خاکی نادر با وجود پراکندگی‌های موجود در الگوی برخی از عناصر، به طور کلی در نمودارهای هارکر [۱۷] با افزایش مقدار سیلیس مقادیر اکسیدهای TiO_2 , P_2O_5 , MgO , CaO , Al_2O_3 و FeOt کاهش می‌یابد (شکل ۸). کاهش Al_2O_3 و FeOt با تبلور کلینوپیروکسن، بیوتیت و آمفیبیول در سنگ‌ها قابل توجیه است. همچنین کاهش مقدار TiO_2 را می‌توان به حضور کانی اسفن و روند نزولی P_2O_5 از ویژگی‌های گرانیت‌های نوع I نسبت داد. روند نزولی P_2O_5 از ویژگی‌های گرانیت‌های نوع II است [۱۴]. Na_2O دارای الگوی پراکنده است و روند مشخصی را نشان نمی‌دهد که می‌تواند ناشی از دگرسانی پلازیوکلاز و همچنین تحرک این عنصر طی فرآیندهای دگرسانی باشد. در نمونه‌های مورد بررسی با افزایش SiO_2 ، مقدار عناصر Co و V کاهش و Nb ، Zr ، Cr و Nb افزایش می‌یابد (شکل ۸). کاهش آپاتیت در شبکه کانی‌هایی فرومیزین طی فرآیند جدایش ناشی از ورود آن به شبکه کانی‌هایی دگرسانی باشد. در Co ناشی از جانشینی این احتمالاً ناشی از جانشینی عنصر به جای Fe^{3+} در شبکه مگنتیت است. روند نزولی این عناصر نشان می‌دهد که آنها به صورت عناصر سازگار عمل کرده‌اند. La هر چند پراکندگی نشان می‌دهد ولی در مجموع با افزایش SiO_2 روندی صعودی دارد که با طبیعت ناسازگار این عنصر همخوانی دارد. الگوی تغییرات Y نسبت به SiO_2 پراکنده است و روند مشخصی را نشان نمی‌دهد. Zr به عنوان یک عنصر ناسازگار به آسانی وارد کانی‌های رایج سنگ‌ساز نمی‌شود و اغلب فاز جداگانه‌ای را به صورت کانی زیرکن تشکیل می‌دهد. نیز دارای همبستگی مثبت با SiO_2 است. پراکندگی‌های موجود در الگوی برخی عناصر ناشی از تاثیر متفاوت فرآیندهای دگرسانی بر سنگ‌های نفوذی مورد بررسی است.

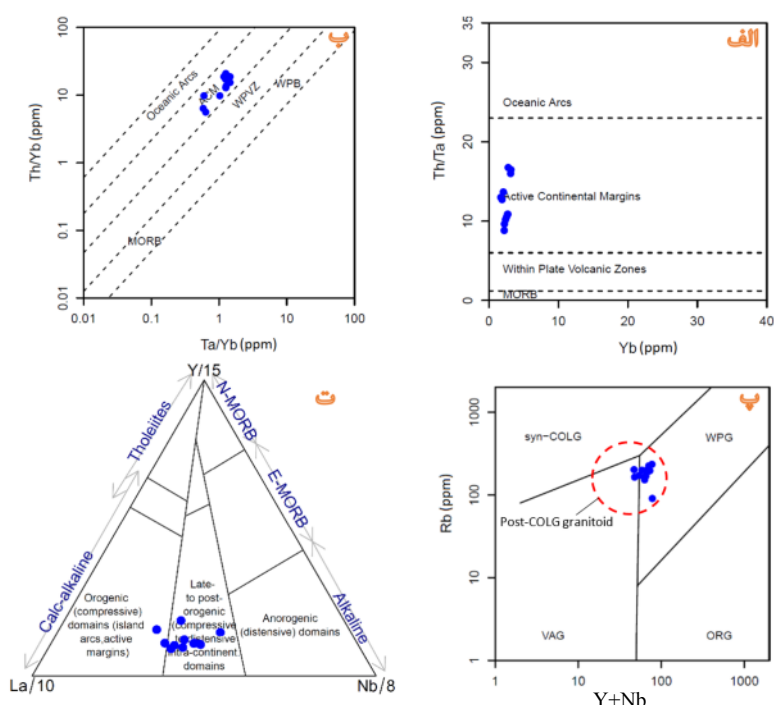
الگوی عناصر فرعی در نمونه‌ها بر اساس داده‌های گوشه



شکل ۹ (الف) مقادیر فرعی بهنجارشده نسبت به گوشه‌های اولیه [۱۸] و (ب) مقادیر REE بهنجار شده نسبت به کندریت [۱۹].

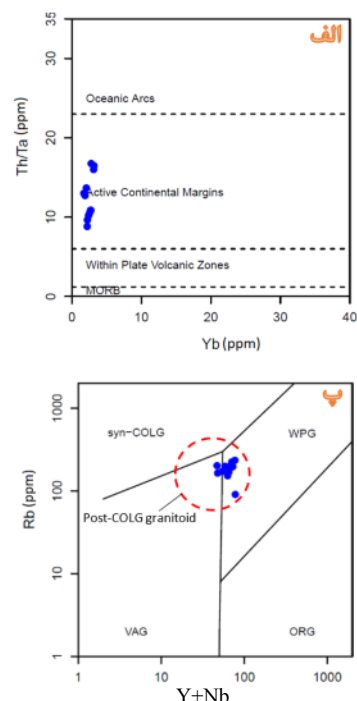
جایگاه زمین‌ساختی

برای تعیین جایگاه زمین‌ساختی توده‌های گرانیتوئیدی، نمودارهای مختلفی پیشنهاد شده است، که سودمندترین آنها نمودارهایی هستند که بر اساس فراوانی عناصر کمیاب کم تحرک، نسبت به فرآیندهای دگرسانی و هوازدگی طراحی شده باشند. برای تعیین جایگاه زمین‌ساختی توده گرانوپوریتی نخست از نمودارهای Th/Ta نسبت به Yb و Th/Yb نسبت به Ta/Yb [۳۱] استفاده شد که بر اساس آنها، این توده وابسته به کرانه‌های فعال قاره‌ای است (شکل ۱۰، الف، ب). بر اساس نمودار تفکیک جایگاه زمین‌ساختی Rb نسبت به $\text{Y}+\text{Nb}$ [۲۰]، توده گرانوپوریتی مورد بررسی ویژگی‌های گرانیتوئیدی-های پسابرخورده (Post-COLG) را نشان می‌دهد (شکل ۱۰، پ). بر اساس نمودار $\text{La}_{10}-\text{Y}_{15}-\text{Nb}_{8}$ [۳۲] نیز نمونه‌ها در گستره پهنه‌های پس از کوهزایی (Post-orogenic) درون قاره‌ای جای می‌گیرند (شکل ۱۱ ت). مقدار Nb/Th در همه نمونه‌ها بین ۰/۷۳ تا ۰/۵۶ (میانگین ۰/۳۵) است که با توجه به مقدار گزارش شده < 3 Nb/Th برای سنگ‌های قلیایی محیط‌های قوسی [۳۳] و نیز غنی‌شدگی Th نسبت به Nb در نمونه‌ها می‌تواند تاییدی بر محیط قوسی آتشفسانی برای توده گرانیتوئیدی صاحب‌دیوان باشد [۳۴، ۳۵].



شکل ۱۰ نمودارهای تفکیک محیط زمین‌ساختی توده گرانوپوریتی مجموعه پورفیری صاحب‌دیوان (الف) نمودار Th/Ta نسبت به Yb ، (ب) نمودار Th/Yb نسبت به Ta/Yb [۳۱]، (پ) نمودار Rb نسبت به $\text{Y}+\text{Nb}$ [۲۰] و (ت) نمودار $\text{La}_{10}-\text{Y}_{15}-\text{Nb}_{8}$ [۳۲]

بی‌هنجری منفی عناصر P , Sr و Ti (شکل ۹ الف) در نمونه‌ها با ویژگی‌های زمین‌شیمیایی مذاب‌های پوسته‌ای همخوانی دارد [۲۵]. مقادیر $\text{La}/\text{Yb}_{\text{N}}$ در نمونه‌ها ۱۱۰/۳ تا ۲۴/۳۸ (میانگین ۱۸/۳۰) تغییر می‌کند. مقادیر $\text{La}/\text{Yb}_{\text{N}}$ بیش از ۱۵ برای بیشتر نمونه‌ها (جدول ۲) بیانگر جدایش معنی‌دار REE‌ها و غنی‌شدگی عناصر خاکی نادر سبک (LREE) نسبت به عناصر خاکی نادر سنتگین ($\text{La}/\text{Yb}_{\text{N}} > 10$), با است [۲۶]. غنی‌شدگی از LREE‌ها در موقعیت پس از برخورد با دو احتمال غنی‌شدگی خاستگاه ماقما از این عناصر و آلایش ماقما با پوسته قاره‌ای توضیح داده می‌شود [۲۷]. براساس نتایج دیویدسون و همکاران [۲۸]، نسبت Dy/Yb با تبلور آمفیبول از ماقما کاهش می‌یابد، زیرا این کانی ترجیحاً عناصر خاکی نادر (MREE) را در خود جای می‌دهد. بنابراین مقادیر پایین Dy/Yb در نمونه‌ها (۱/۴۴-۲/۱) ناشی از تبلور آمفیبول است. تشابه الگوی مشابه REE‌ها در نمونه‌های مورد بررسی نشان‌دهنده همانندی خاستگاه ماقمایی آنهاست (شکل ۹ ب). همچنین در نمونه‌های مورد بررسی، Eu دارای بی‌هنجری جزئی منفی است که از ۰/۹۷ تا ۰/۷۹ (میانگین ۰/۸۶) تغییر می‌کند و بیانگر عدم جدایش قابل توجه پلاتزیوکلاز از ماقمایی اولیه است [۲۹]. گفتی است که بی‌هنجری Eu توسط رابطه $[{\text{Eu}}_{\text{n}}/{\text{Eu}}^* = {\text{Eu}}_{\text{n}}/\sqrt{({\text{Sm}}_{\text{n}} \times {\text{Gd}}_{\text{n}})}}$ [۳۰] محاسبه شده است.



شکل ۱۱ نمودارهای تفکیک محیط زمین‌ساختی توده گرانوپوریتی مجموعه پورفیری صاحب‌دیوان (الف) نمودار Th/Yb نسبت به Ta/Yb [۳۱]، (پ) نمودار Rb نسبت به $\text{Y}+\text{Nb}$ [۲۰] و (ت) نمودار $\text{La}_{10}-\text{Y}_{15}-\text{Nb}_{8}$ [۳۲]

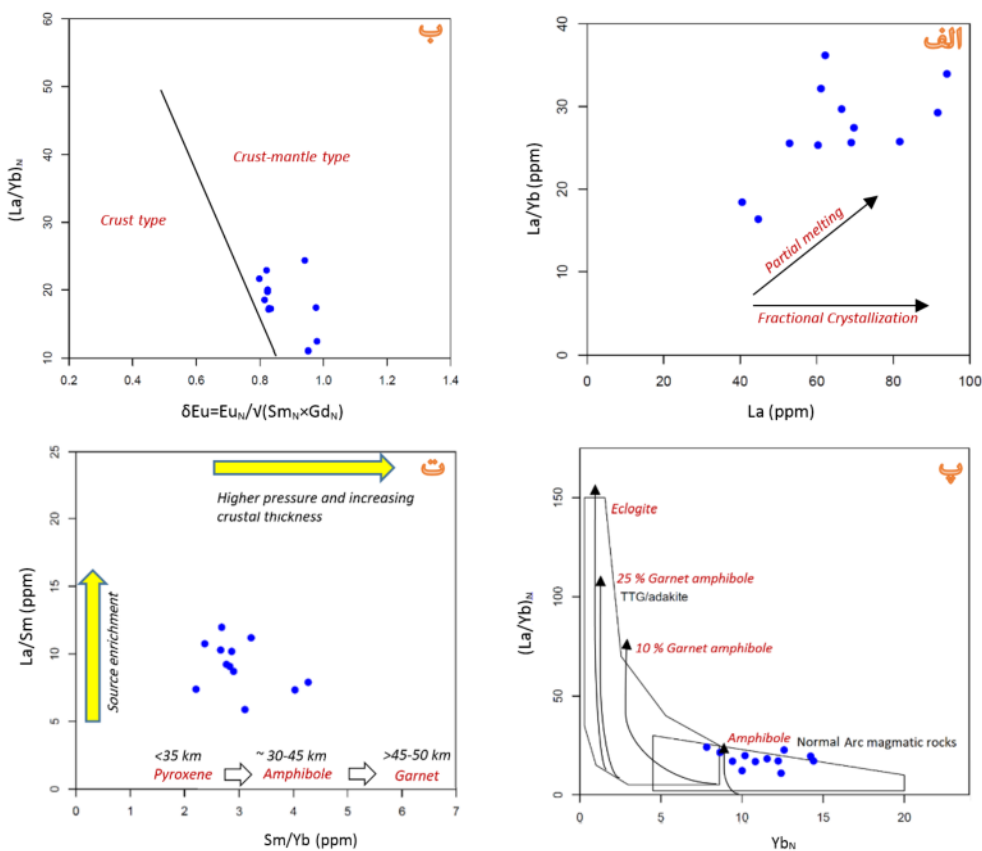
Yb_N (شکل ۱۱ پ) [۳۷] نیز نشاندهنده حضور آمفیبیول به عنوان پسمانده ذوب سنگ‌های خاستگاه توده گرانوودیوریتی مورد بررسی است. از سوی دیگر، نمودار La/Sm نسبت به Sm/Yb (شکل ۱۱ ت) نیز نشاندهنده حضور فازهای پایدار پیروکسن و آمفیبیول در خاستگاه ماقمای توده گرانوودیوریتی صاحب‌دیوان است [۳۸].

برای تعیین ضخامت پوسته و فشار احتمالی وارد بر خاستگاه ماقمای مادر توده گرانویدیوریتی صاحب‌دیوان از نمودار La/Sm نسبت به Sm/Yb استفاده شد (شکل ۱۱ ت). افزایش نسبت Sm/Yb اغلب نشان‌دهنده تغییرات مربوط به افزایش فشار از کلینوپیروکسن به سمت آمفیبیول و گارنت در کانی پسمانده‌ی در تعادل با ماقمای در حال تکامل است. همچنین نسبت Sm/Yb می‌تواند به عنوان راهنمایی برای تعیین ضخامت (LREE) La/Sm (La/Sm) نسبتی پوسته استفاده شود [۳۸]. تغییرات (HREE) Sm/Yb [۳۸] برای نمونه‌های مورد بررسی نشاندهنده تشکیل ماقمای مادر این توده در یک پوسته به نسبت نازک و با ژرفایی کمتر از ۴۰ کیلومتر (کمتر از پایداری گارنت) [۴۶] است.

مقادیر Nb/U، Nb/La و Ce/Pb که نسبت به آلایش پوسته‌ای حساس هستند [۴۷، ۴۸] در توده گرانوودیوریتی صاحب‌دیوان به ترتیب از ۰/۰۹ تا ۰/۰۶ (میانگین ۰/۰۶۳)، ۱/۹۳ تا ۱/۱۸ (میانگین ۱/۲۲) و ۰/۰۴ تا ۰/۰۶ (میانگین ۰/۱۹) تغییر می‌کنند که با توجه به مقادیر آنها در پوسته Nb/La = ۰/۳۹، Nb/La = ۰/۹ - ۱/۳ (Ce/Pb = ۳/۷ و Nb/U = ۴/۴)، گوشته (Nb/U = ۵۰ و Ce/Pb = ۲۵ ± ۵)، ماقمای مادر توده گرانوودیوریتی صاحب‌دیوان آلایش پوسته‌ای نشان می‌دهد. مقادیر Sm/Yb در نمونه‌ها (۰/۲۱ - ۰/۲۷) نیز نشانگر هضم پوسته بالایی در پوسته به نسبت نازک است [۳۸]. بنابراین در مجموع، به نظر می‌رسد که هر دو مولفه گوشتة و پوسته در تشکیل و دگرگونی‌های ماقمایی توده گرانوودیوریتی مورد بررسی موثر بوده‌اند و ماقمای مادر این توده در اثر ذوب‌بخشی سنگ‌های پوسته‌ای زیرین به علت تزریق مذاب‌های بازالتی مشتق شده از گوشتة و در تعادل با پسمانده‌ای شامل پیروکسن و آمفیبیول در ژرفایی کمتر از ۴۰ کیلومتر تشکیل شده که ضمن صعود و جایگیری در بخش‌های کم عمق پوسته، به تدریج متبلور شده و موجب تشکیل این سنگ‌ها شده است. گفتنی است که ماقمای مولد این سنگ‌ها طی صعود به طبقه‌های بالاتر درجهات متفاوتی از آلایش پوسته‌ای را نیز تجریبه کرده است.

خاستگاه ماقمایی

چنانکه پیش تر اشاره شد توده گرانوودیوریتی صاحب‌دیوان دارای گستره ترکیبی نسبتاً وسیعی است که این طیف ترکیبی می‌تواند در اثر ذوب‌بخشی پوسته مافیک زیرین [۳۹] و یا در نتیجه آمیزش ماقمایی مشتق شده از گوشتة و پوسته زیرین [۴۰] همراه یا بدون جدایش بلورین بعدی گرفته باشد. با توجه به نمودار La/Yb نسبت به La [۳۶]، ماقمای مادر توده گرانوودیوریتی مورد بررسی در اثر درجات متفاوتی از ذوب‌بخشی تشکیل شده است (شکل ۱۱ الف). مقدار پایین SiO₂ (۴۹/۸۸٪) و مقدار بالای MgO (۴/۲۳٪) در برخی از نمونه‌ها پیشنهاد دهنده دخالت ماقمای بازالتی مشتق شده از گوشتة در تشکیل این سنگ‌هاست [۴۱]. همچنین غنی‌شدگی از عنصری مانند Th، Rb و Pb (شکل ۹ الف) و نسبت بالای Nb/Ta تهی‌شدگی از P، Sr و Ti در نمونه‌ها بازتابی از نقش پوسته قاره‌ای در ۱۱/۷۲ - ۲۷/۸۷ در نمونه‌ها ماقمایی و نشانه‌ای از مذاب‌های مشتق شده از پوسته است [۴۲، ۴۵]. از سوی دیگر، به گزارش برترین [۴۳]، در موقعیت پس از برخورد (مانند موقعیت زمین‌ساختی منطقه مورد بررسی) هر دو خاستگاه گوشتة و پوسته می‌توانند در تشکیل ماقما دخیل باشند و گرمای ناشی از مذاب مشتق از گوشتة عامل اصلی ذوب پوسته است [۴۴]. بنابراین با توجه به ویژگی‌های زمین‌شیمیایی و محیط زمین‌ساختی توده گرانوودیوریتی مورد بررسی می‌توان گفت که ماقمای بازالتی مشتق شده از ذوب گوشتة در زیر پوسته زیرین جایگزین شده و خاستگاه گرمایی لازم را برای ذوب پوسته زیرین فراهم کرده است. افزون بر آن این احتمال وجود دارد که ماقمای بازالتی مشتق شده از گوشتة تا حدی با ماقمای برآمده از ذوب پوسته آمیخته شده باشد. نمودار La/Yb_N (La/Yb) نسبت به ۸Eu/δEu [۲۶] (شکل ۱۱ ب) نیز نشاندهنده نقش مشترک گوشتة و پوسته در تشکیل ماقمای مادر توده گرانوودیوریتی مورد بررسی است. مقادیر به نسبت بالای عناصر Yb (۳/۱۷ - ۳/۴۲)، Y (۱/۷۲ - ۱/۵۵) در نمونه‌ها نشانگر یک خاستگاه ماقمایی بدون گارنت برای توده گرانوودیوریتی صاحب‌دیوان است چرا که گارنت به خوبی می‌تواند این عناصر را در ساختار خود جای دهد و مقادیر بالای این عناصر اشاره به عدم پایداری گارنت در خاستگاه ماقما دارد [۴۵]. همچنین به باور دیویدسن و همکاران [۲۸]، نسبت‌های Dy/Yb هم‌مان با تبلور گارنت از ماقما افزایش می‌یابد که مقادیر پایین این نسبت در نمونه‌ها بیانگر عدم تبلور گارنت است. نمودار La/Yb_N (La/Yb) نسبت به



شکل ۱۱ الف) نمودار La/Yb نسبت به La [۳۶]، ب) نمودار δEu (La/Yb_N) نسبت به Yb_N [۳۷] و ت) نمودار La/Sm نسبت به Sm/Yb [۳۸].

سنگ‌های پوسته‌ای زیرین به علت تزریق مذاب‌های بازالتی مشتق شده از گوشته در تعادل با پسماندهای شامل پیروکسن و آمفیبول و ژرفای کمتر از ۴۰ کیلومتر تشکیل شده که طی صعود و جایگیری در اعماق کم پوسته به تدریج متبلور شده و منجر به تشکیل این سنگ‌ها شده است.

قدرتانی

از معاونت پژوهشی دانشگاه ارومیه و شرکت ملی صنایع مس ایران به دلیل فراهم نمودن امکان نمونه‌برداری از مغزه‌های حفاری اکتشافی منطقه مورد بررسی و تامین هزینه‌های این پژوهش قدردانی می‌شود. نویسنده‌گان همچنین سپاسگزار نظرات سازنده داوران محترم مقاله هستند.

مراجع

- [1] Stocklin J., Nabavi M.H., "Tectonic Map of Iran 1:2500000 Geological Survey of Iran", (1973).

برداشت
براساس داده‌های زمین‌شیمیایی، ترکیب اصلی توده گرانیتوئیدی صاحب‌دیوان از گرانو‌دیوریت، دیوریت تا مونزونیت متغیر است. این توده از نظر سری ماقمایی وابسته به سری‌های کلسیمی قلیابی پتابسیم بالا و شوشونیتی بوده و دارای ویژگی پرآلومین و از گرانیت‌های نوع I است. غنی‌شدگی در عناصر سنگ دوست درشت یون، تهی‌شدگی از عناصر با شدت میدان بالا و غنی‌شدگی عناصر خاکی نادر سبک نسبت به عناصر خاکی نادر سنگین همراه با بی‌هنگاری جزئی منفی Eu از ویژگی‌های زمین‌شیمیایی این توده است. از نظر جایگاه زمین‌ساختی، این توده در محیط قوسی آتشفسانی پسابرخوردی در کرانه فعال قاره‌ای تشکیل شده است. بر پایه داده‌های زمین‌شیمیایی، هر دو مولفه گوشته و پوسته در تشکیل و دگرگونی‌های ماقمایی سنگ‌های گرانو‌دیوریتی مورد بررسی موثر بوده‌اند و ماقمای مادر این توده در اثر ذوب بخشی

- [12] Peccerillo A., Taylor S. R., "Geochemistry of Eocene calc-alkaline volcanic rocks in Turkey", Contrib. Mineral. Petr, 68 (1976) 63-81.
- [13] Newberry R.J., Burns L.E., Swanson S.E., Smith T.E., "Comparative petrologic evolution of the Sn and W granites of Fairbanks Circle area, interior Alaska", Geol. Sot. Am. Prof. Pap., 246 (1990) 121-142.
- [14] Chappell B.W., "Aluminium saturation in I- and S-type granites and the characterization of fractionated haplogranites", Lithos 46 (1999) 535-551.
- [15] Clemens J.D., Stevens G., "What controls chemical variation in granitic magmas? Lithos 134-135 (2012) 317-329.
- [16] Azman A. Ghani M., Searle L., Robb., Sun-Lin C., "Transitional I S type characteristic in the Main Range Granite, Peninsular Malaysia", Journal of Asian Earth Sciences (2013).
- [17] Harker A., "The natural history of the igneous rocks", New York, The Macmillan Company (1909) 384 p.
- [18] McDonough W. F., S. S. Sun., "The composition of the Earth", Chem. Geol., 120 (1995), 223-253.
- [19] Boynton W.V., "Cosmochemistry of the rare earth elements: meteorite studies. In: Henderson, P. (Ed.), Rare Earth Element Geochemistry", Elsevier, Amsterdam (1984) pp. 63–114.
- [20] Pearce J. A., Harris N. B. W., Tindle A. J., "Trace element discrimination diagrams for the tectonic interpretation of granitic rocks", J. Petrol., 25 (1984) 956-83.
- [21] Rollinson HR., "Using Geochemical Data: Evaluation, Presentation, Interpretation", Longman Scientific and Technical, New York (1993) 352 pp.
- [22] Ku ster D., Harms U., "Post-collisional potassic granitoids from the southern and northwestern parts of the Late Neoproterozoic East African Orogen: a review", Lithos 45(1998) 177–195.
- [23] Wu F.Y., Jahn B.M., Wilde S.A, Lo C.H, Yui T.F., Lin Q., Ge W.C., Sun D.Y., "Highly fractionated I-type granites in NE China (I): Geochronology and petrogenesis", Lithos, 66 (2003) 241-273.
- [2] Moritz R., Mederer J., Ovtcharova M., Spikings R., Selby D., Melkonyan R., Hovakimyan S., Tayan R., Ulianov A., Ramazanov V., "Jurassic to Tertiary metallogenetic evolution of the southernmost Lesser Caucasus, Tethys belt", 12th the Society for Geology Applied to Mineral Deposits (SGA) Biennial Meeting, Uppsala, Sweden (2013).
- [3] Castro A., Aghazadeh M., Badrzadeh Z., Chichorro M., "Late Eocene-Oligocene post-collisional monzonitic intrusions from the Alborz magmatic belt, NW Iran. An example of monzonite magma generation from a metasomatized mantle source", Lithos 180-181 (2013) 109-127.
- [4] Aghazadeh M., Hou Z., Badrzadeh Z., Zhou L., "Temporal-spatial distribution and tectonic setting of porphyry Cu (Mo-Au) deposits in Iran: Constraints from zircon U-Pb and molybdenite Re-Os geochronology", Ore Geology reviews, 70 (2015) 385-406.
- [5] Babakhani A.R., Hossein Kan N., Amidi M., "Geological map of Lahroud; Scale, 1:100000", Geological Survey of Iran (1991).
- [6] NICICO., "Final report on the geological and exploration studies in SahebDivan area", Internal report (2010).
- [7] NICICO., "Geological report and map of SahebDivan area; Scale, 1:5000", Internal report (2006).
- [8] Middlemost E.A.K., "Naming materials in magma/igneous rock system", Earth Sci Rev 37 (1994) 215–224.
- [9] Shand S. J., "Eruptive Rocks. Their Genesis, Composition, Classification, and Their Relation to Ore-Deposits with a Chapter on Meteorite", John Wiley & Sons, New York (1943).
- [10] Waught T. E., Weaver S. D., Muir R. J., Maas R., Eby, N., "The Hohonu Batholith of North Westland, New Zealand: granitoid compositions controlled by source H_2O contents and generated during tectonic transition", Contribution to Mineralogy and Petrology, 130 (1998) 225–239.
- [11] Ross P.S., Bedard J.H., "Magmatic affinity of modern and ancient subalkaline volcanic rocks determined from trace-element discriminant diagrams", Canadian Journal of Earth Sciences (2009).

- related to slab break-off*", *Lithos* 89 (2006) 377–404.
- [34] Swinden H.S., Jenner, G. A., Szybinski Z. A., "Magmatic and tectonic evolution of the Cambrian-Ordovician Laurentian margin of Iapetus", *Geological Society of America* 191(1997) 367-395.
- [35] Whalen J. B., Jenner G. A., Longstaffe F. J., Gariepy C., Fryer B., "Implications of granitoid geochemical and isotopic (Nd, O, Pb) data from the Cambro-Ordovician Notre Dame arc for the evolution of the Central Mobile Belt, Newfoundland Appalachians" ,*Geology* 21(1993) 825-828.
- [36] Gao Y., Hou Z., Kamber B. S., Wei R., Meng X., Zhao, R., Adakite-like porphyries from the southern Tibetan continental collision zones: evidence for slab melt metasomatism. *Contributions to Mineralogy and Petrology*, 153 (2007) 105–120.
- [37] Martin H., "Effect of steeper Archean geothermal gradient on geochemistry of subduction-zone magmas", *Geology* 14 (9) (1986) 753–756.
- [38] Kay S.M., Mpodozis C., "Central Andes ore deposits linked to evolving shallow subduction systems and thickening crust", *GSA TODAY* (Geol Soc Am) 11(2001) 4–9.
- [39] Rapp R.P., Watson E.B., "Dehydration melting of metabasalt at 8–32 kbar: implications for continental growth and crust-mantle recycling", *Journal of Petrology* 36 (1995) 891–931.
- [40] Janoušek V., Braithwaite C.J., Bowes D., Gerdes A., "Magma-mixing in the genesis of Hercynian calc-alkaline granitoids: an integrated petrographic and geochemical study of the Sázava intrusion, Central Bohemian Pluton, Czech Republic", *Lithos* 78 (2004) 67–99.
- [41] MingJian C., KeZhang Q., GuangMing L., Noreen J. E., Pete H., LuYing J., "Genesis of ilmenite-series I-type granitoids at the Baogutu reduced porphyry Cu deposit, western Junggar, NW-China", *Lithos* 246–247 (2016) 13–30.
- [42] Harris N. B. W., Duyverman H. J., Almand D.C., "The trace element and isotope geochemistry of the Sabaloka igneous complex, Sudan", *Journal of Geological Society of London* 140(1983) 245–256.
- [24] Mortazavi M., R. Sparks., "Origin of rhyolite and rhyodacite lavas and associated 984 mafic inclusions of Cape Akrotiri, Santorini: the role of wet basalt in generating calc-alkaline 985 silicic magmas, *Contrib*", *Mineral. Petrol.*, 146(4) (2004) 397–413.
- [25] Chappell B. W., White A. J. R., "I- and S-type granites in the Lachlan Fold Belt", *Transactions of the Royal Society of Edinburgh: Earth Sciences* 83(1992) 1–26.
- [26] Zhang Z. Y., Du Y. S., Teng C. Y., Zhang J., Pang Z. S., "Petrogenesis, geochronology, and tectonic significance of granitoids in the Tongshan intrusion, Anhui Province, Middle-Lower Yangtze River Valley, eastern China", *Journal of Asian Earth Sciences*, 79 (2014) 792–809.
- [27] Aldanmaz E., Pearce, J. A., Thirlwall M. F., Mitchell J.G., "Petrogenetic evolution of late Cenozoic, post-collision volcanism in western Anatolia, Turkey", *Journal of Volcanology and Geothermal Research* 102(2000) 67–95.
- [28] Davidson J., Turner S., Handley H., Macpherson C., Dosseto A., "Amphibole "sponge" in arc crust?", *Geology* 35 (2007) 787–790.
- [29] Richards J.P., Spell T., Rameh E., Razique A., Fletcher T., "High Sr/Y Magmas Reflect Arc Maturity, High Magmatic Water Content, and Porphyry Cu ± Mo ± Au Potential: Examples from the Tethyan Arcs of Central and Eastern Iran and Western Pakistan", *Economic Geology* 107(2012).
- [30] Taylor Y., McLennan SM., "The Continental Crust: Its Composition and Evolution", 1st ed. Oxford, UK: Blackwell (1985).
- [31] Schandl E. S., Gorton MP., "Application of high field strength elements to discriminate tectonic setting in VMS environments", *Economic Geology*. 97 (2002) 629–642.
- [32] Cabanis B., Lecolle M., "Le diagramme La₁₀-Y₁₅-Nb₈: un outil pour la discrimination des séries volcaniques et la mise en évidence des processus de mélange et/ou de contamination crustale", *C. R. Acad.* (1989) Sci. 2, 2023–2029.
- [33] Whalen J. B., McNicoll V. J., van Staal., C. R., Lissenberg C. J., Longstaffe F. J., Jenner G. A., van Breeman O., "Spatial, temporal and geochemical characteristics of Silurian collision-zone magmatism, Newfoundland Appalachians: An example of a rapidly evolving magmatic system

- [46] Haschke M., Sieble W., Gunther A., Scheuber, E., "Repeated crustal thickening and recycling during the Andean orogeny in north Chile (21°-26°S)", *Journal of Geophysical Research* 107 BI. Doi: 10.1029/2001JB000328 (ECU 6-1-18).
- [47] Furman T., "Geochemistry of East African Rift Basalts: an overview. *Journal of African Earth Science*", (2007).
- [48] Hofmann A. W., Jochum K. P., Seofert M., White W. M., "Nb and Pb in oceanic basalts: new constraints on mantle evolution", *Earth Planet Sci. Lett.* 79.33- 45.
- [43] Bonin B., "Do coeval mafic and felsic magmas in post-collisional to within-plate regimes necessarily imply two contrasting, mantle and crustal, sources? A review", *Lithos* 78 (2004) 1–24.
- [44] De Yoreo J. J., Lux D. R., Guidotti C. V., "The role of crustal anatexis and magma migration in the thermal evolution of regions of thickened continental crust. In: Daly JS, Cliff RA, Yardley BWD (eds) *Evolution of metamorphic belts*", Geol Soc London Spec Publ (1989) 43.
- [45] Defant M.J., Drummond M.S., "Derivation of some modern arc magmas by melting of young subducted lithosphere", *Nature* 347(1990) 662–665.